

PLANCHE I

EXPLICATION DE LA PLANCHE I.

FIG. 1. — Hypopygium ♂ et ♀ de représentants des sous-familles : a-d, ♂; e-h, ♀; i-l, extrémités caudales des conduits spermathèques des ♀.

a : *Pangonius mauritanus* LINNÉ; b : *Adersia oestroides* KARSCH; c : *Veprius presbiter* RONDANI;
d : *Hybomitra rhombica* OSTEN-SACKEN; e : *Pangonius mauritanus aethiops* SZILADY; f : *Scepsis nivalis* WALKER; g : *Silvius vituli* FABRICIUS; h : *Tabanus bovinus* LINNÉ; i : *Scaptia patula* WALKER; j : *Scepsis nivalis* WALKER; k : *Silvius vituli* FABRICIUS; l : *Tabanus bovinus* LINNÉ.
st : style; 9 T : 9^e tergite; 10 T : 10^e tergite; c : cerci; 8 S : 8^e sternite de ♀; gp : gonapophyses antérieures de ♀.

(D'après MACKERRAS, 1954.)

FIG. 2. — Tête et front de représentants des sous-familles : a, *Scaptia aurata* MACQUART; b, *Scepsis nivalis* WALKER; c, *Veprius presbiter* RONDANI; d, *Cydistomyia postica* WIEDEMANN.

(D'après MACKERRAS, 1954.)

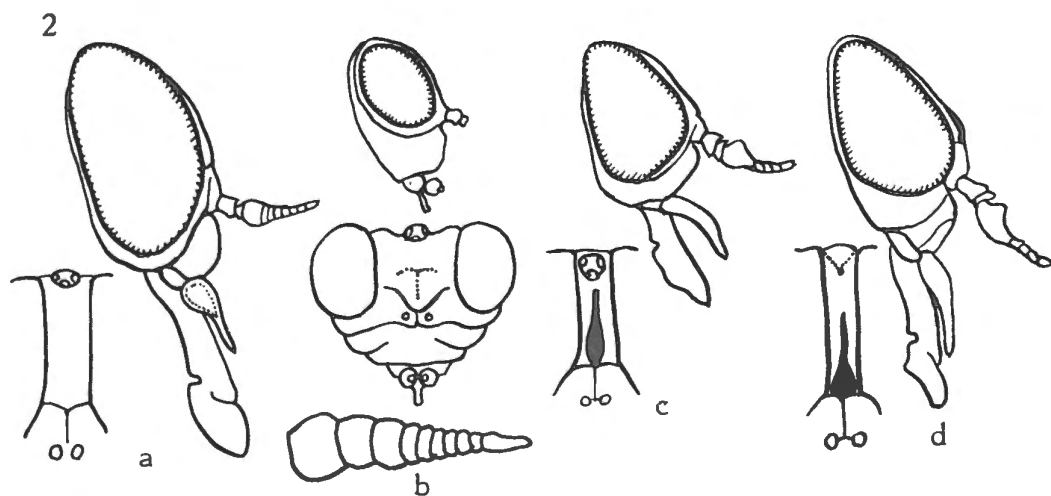
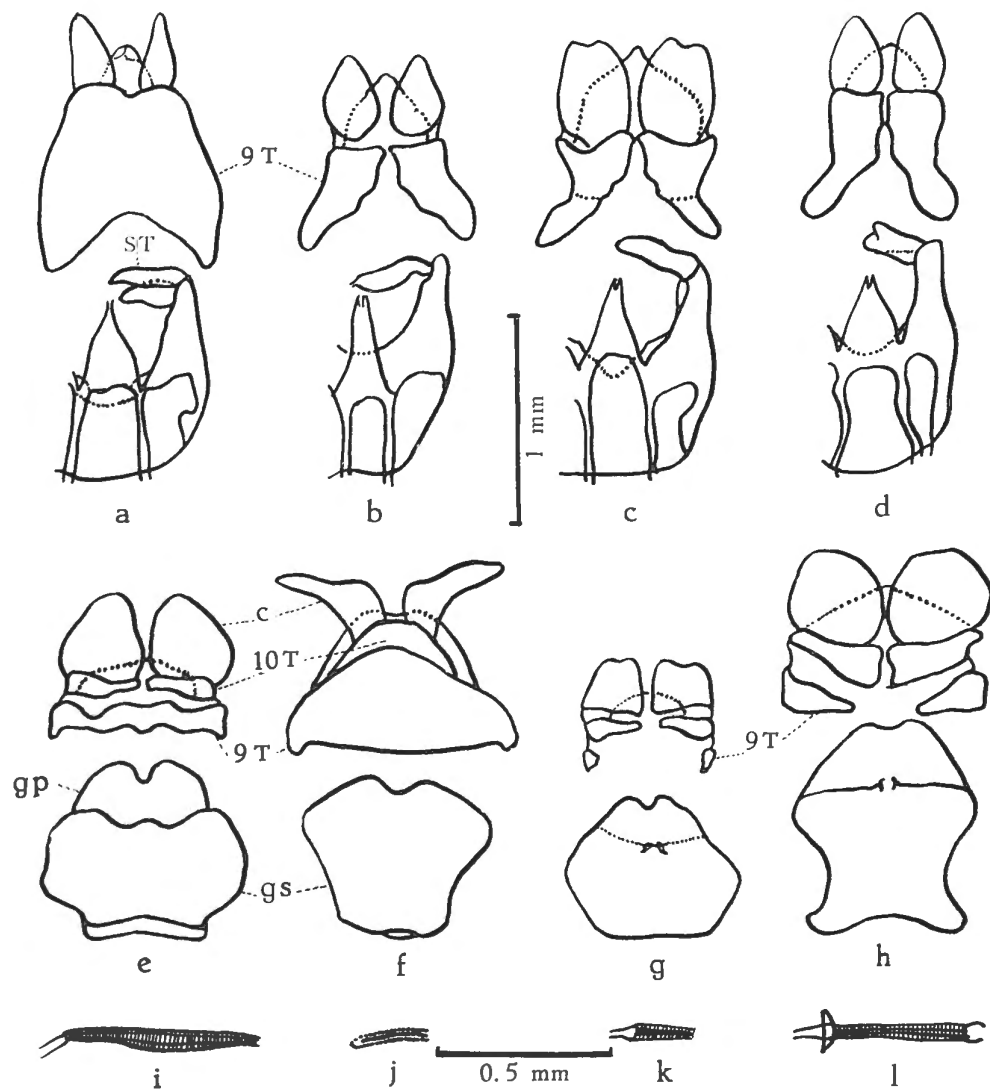


PLANCHE II

EXPLICATION DE LA PLANCHE II.

FIG. 3. — Hypopygium ♀ de *Philolichini* (*Philoliche rostrata* LINNÉ) (d'après MACKERRAS, 1955a) : gp, gonapophyse antérieure; 8 S, sternite 8; c, cerci; 10 T, tergite 10; 9 T, tergite 9.

FIG. 4. — Nomenclature de l'aile des TABANIDAE : c, nervure costale; sc, sous-costale; r₁, 1^{re} branche de la radiale; r_{2+r3}, 2^e et 3^e branches de la radiale; r₄, 4^e branche de la radiale; r₅, 5^e branche de la radiale; m₁, m₂, m₃ : 1^{re}, 2^e, 3^e branches de la nervure médiane; cu₁, 1^{re} branche de la nervure cubitale; cu₂, 2^e branche de la nervure cubitale; an, nervure anale; ax, nervure axillaire; ta, nervure transverse antérieure; tp, nervure transverse postérieure; 1, cellule costale; 2, cellule sous-costale; 3, cellule radiale; 4, cellule basilaire supérieure; 5, cellule basilaire inférieure; 6, cellule anale; 7, cellule axillaire; 8, 1^{re} cellule cubitale; 9, 2^e cellule cubitale ou cellule apicale; 10, 1^{re} cellule marginale postérieure; 11, cellule discoïdale; 12, 2^e cellule marginale postérieure; 13, 3^e cellule marginale postérieure; 14, 4^e cellule marginale postérieure; 15, 5^e cellule marginale postérieure.

FIG. 5. — *Pangonius* : aile, 1^{re} cellule marginale postérieure fermée avec un appendice formé par la réunion de r_{5+m1}.

FIG. 6. — *Stonemyia caucasica* KRÖBER, palpe du ♂ (d'après KRÖBER, 1925).

FIG. 7. — *Stonemyia enokizonoi* OUCHI ♂ : a, antenne; b, palpe; c, tête de profil (d'après OUCHI, 1940).

FIG. 8. — *Stonemyia caucasica* KRÖBER, front de la ♀ (d'après KRÖBER, 1925).

FIG. 9. — *Stonemyia hispanica* KRÖBER, tête de la ♀ (d'après KRÖBER, 1925).

FIG. 10. — *Ectinocerella surcoufi* SÉGUY, tête du ♂ et de la ♀ (d'après SÉGUY, 1930).

FIG. 11. — *Pangonius (Melanopangonius) micans* MEIGEN, tête du ♂ et de la ♀.

FIG. 12. — *Pangonius (Melanopangonius) micans* MEIGEN, antenne du ♂ et de la ♀.

FIG. 13. — *Pangonius powelli* SÉGUY, tête du ♂ (d'après SÉGUY, 1930).

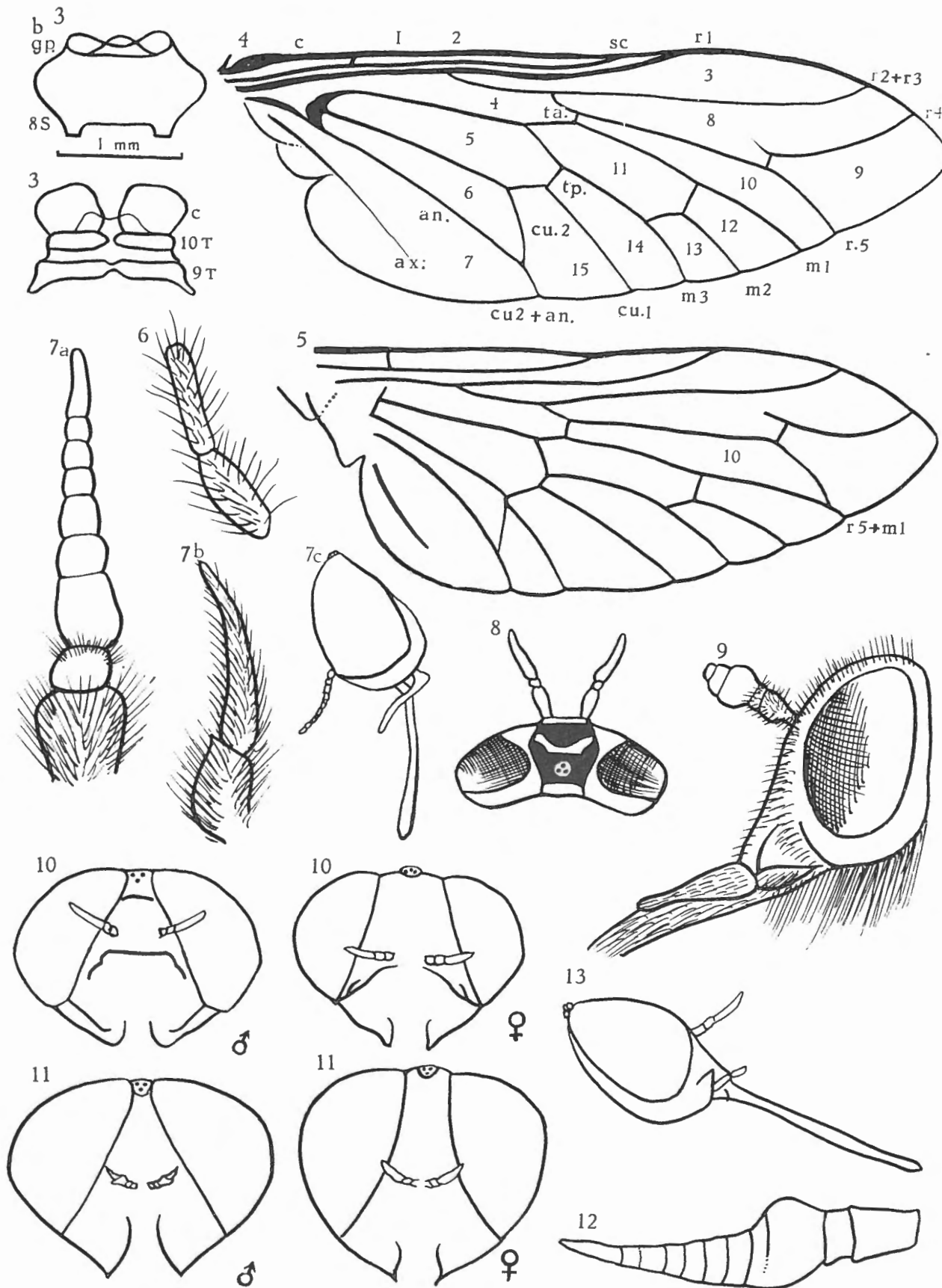


PLANCHE III

EXPLICATION DE LA PLANCHE III.

FIG. 14. — *Pangonius alluaudi* SÉGUY, tête du ♂ (d'après SÉGUY, 1930).

FIG. 15. — *Pangonius variegatus* FABRICIUS, tête et antenne du ♂.

FIG. 16. — *Pangonius affinis* LOEW, tête et abdomen du ♂.

FIG. 17. — *Pangonius fumidus* LOEW, tête, antennes et abdomen du ♂ (en partie d'après KRÖBER, 1925).

FIG. 18. — *Pangonius ferrugineus* MEIGEN, abdomen du ♂.

FIG. 19. — *Pangonius granatensis* STROBL, abdomen du ♂.

FIG. 20. — *Ectinocerella surcoufi* SÉGUY, tête de la ♀ (d'après SÉGUY, 1930).

FIG. 21. — *Pangonius (Melanopangonius) brevicornis* KRÖBER, tête et antenne de la ♀ (d'après KRÖBER, 1925).

FIG. 22. — *Pangonius escalerae* STROBL, abdomen de la ♀.

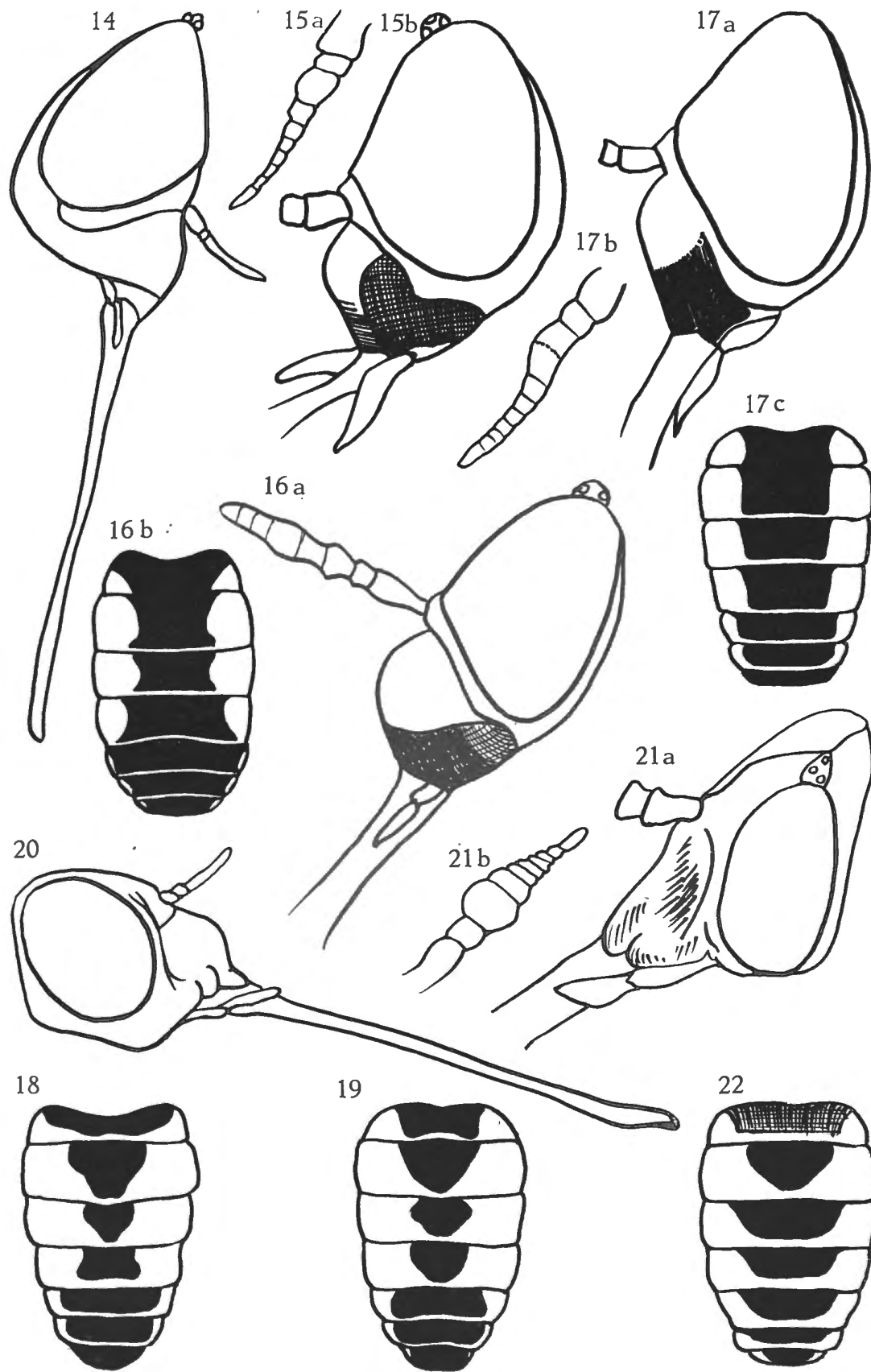


PLANCHE IV

EXPLICATION DE LA PLANCHE IV.

FIG. 23. — *Pangonius fulvipes* LOEW, tête de la ♀ : a, forme typique; b, variété (d'après KRÖBER, 1925).

FIG. 24. — *Pangonius rhynchocephalus* KRÖBER, tête de la ♀ (d'après KRÖBER, 1925).

FIG. 25. — *Pangonius hermanni* KRÖBER, tête de la ♀ (d'après KRÖBER, 1925).

FIG. 26. — *Pangonius granatensis* STROBL, abdomen de la ♀.

FIG. 27. — *Pangonius vittipennis* KRÖBER, tête, antenne et palpe atypique de la ♀ (d'après KRÖBER, 1925).

FIG. 28. — *Pangonius ferrugineus* MEIGEN, abdomen de la ♀.

FIG. 29. — *Pangonius dimidiatus* LOEW, abdomen de la ♀.

FIG. 30. — *Pangonius fumidus* LOEW, tête et antenne de la ♀ (d'après KRÖBER, 1925).

FIG. 31. — *Surcoufia barbata* BIGOT, tête du ♂ (d'après KRÖBER, 1925).

FIG. 32. — *Silvius vituli* FABRICIUS, antenne de la ♀.

FIG. 33. — *Silvius vituli* FABRICIUS, œil de la ♀.

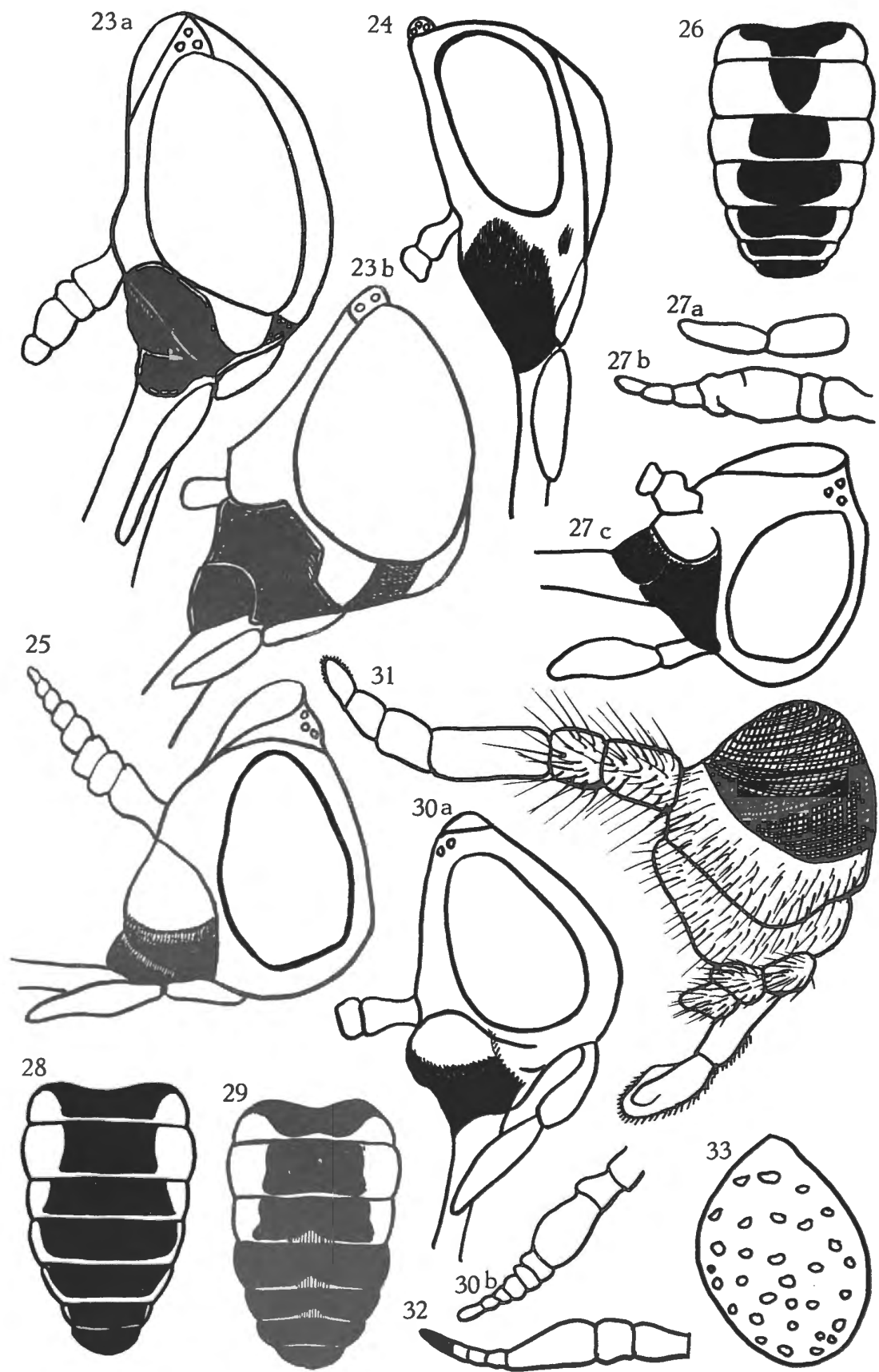


PLANCHE V

EXPLICATION DE LA PLANCHE V.

FIG. 34. — *Nemorius vitripennis* MEIGEN, antenne de la ♀.

FIG. 35. — a : *Nemorius vitripennis* MEIGEN, bande oculaire chez la ♀ ; b : *Nemorius abbassianae* LECLERCQ, bande oculaire chez la ♀.

FIG. 36. — *Chrysops caecutiens* LINNÉ, antenne de la ♀.

FIG. 37. — *Chrysops caecutiens* LINNÉ, œil de la ♀.

FIG. 38. — *Turanochrysops hyalipennis* STACKELBERG, tête de la ♀ (d'après OLSOUFIEV, 1937).

FIG. 39. — *Chrysops caecutiens* LINNÉ, aile de la ♀.

FIG. 40. — *Heterochrysops mlokosiewiczi* BIGOT, aile de la ♀ (d'après OLSOUFIEV, 1937).

FIG. 41. — *Turanochrysops stackelbergi* OLSOUFIEV, tête de la ♀ (d'après OLSOUFIEV, 1937).

FIG. 42. — *Silvius latifrons* OLSOUFIEV, bande frontale et antenne de la ♀ (d'après OLSOUFIEV, 1937).

FIG. 43. — *Silvius irritans* RICARDO, tête de la ♀ (d'après AUSTEN, 1923).

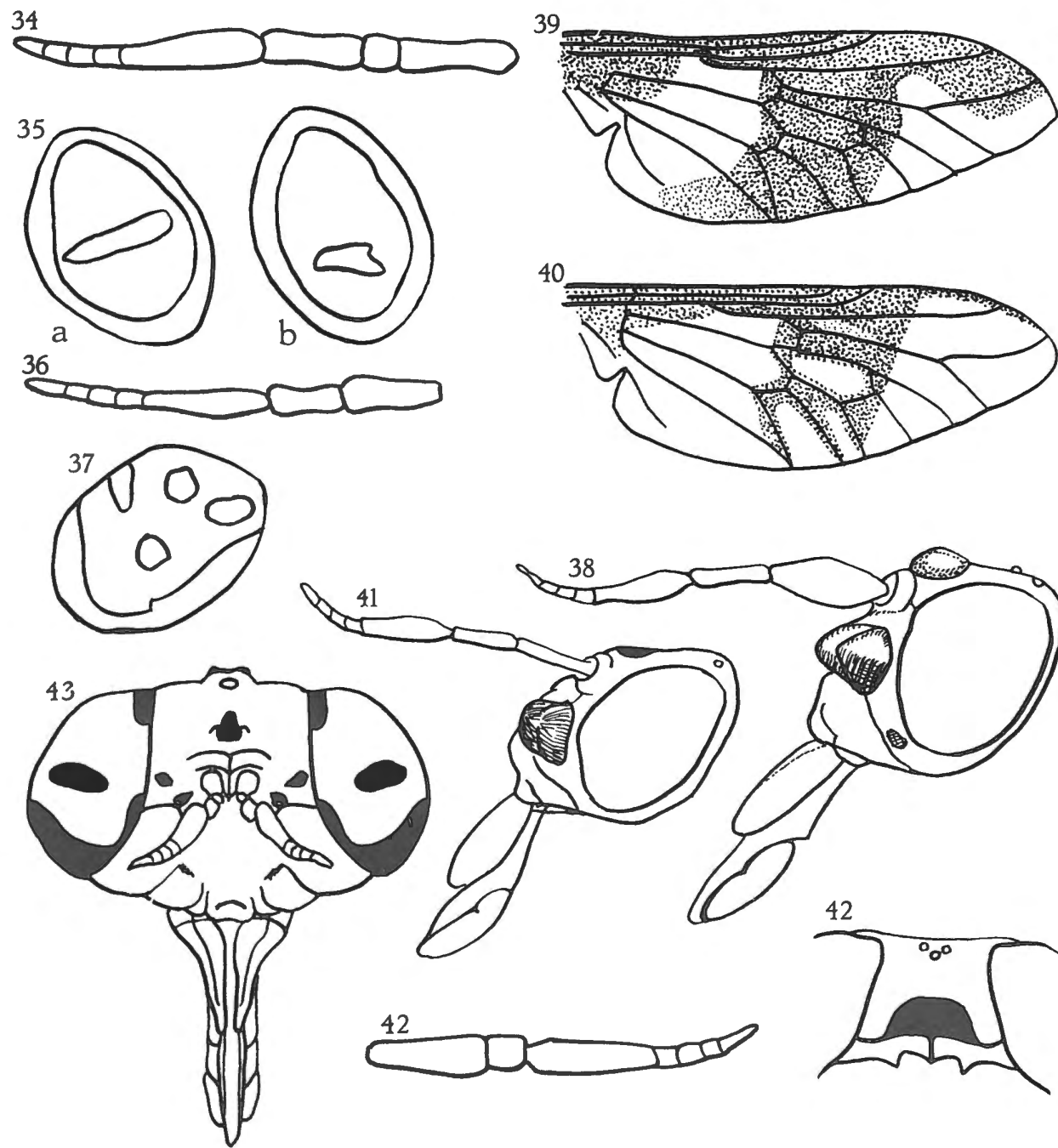


PLANCHE VI

EXPLICATION DE LA PLANCHE VI.

FIG. 44. — *Silvius matsumurai* KONO et TAKAHASI, tête et antenne de la ♀ (d'après KONO et TAKAHASI, 1939).

FIG. 45. — *Silvius vituli* FABRICIUS, bande frontale de la ♀ (d'après OLSOUFIEV, 1937).

FIG. 46. — Bandes frontales des *Nemorius* ♀ : a, *vitripennis* MEIGEN; b, *abbassianae* LECLERCQ; c, *caucasicus* OLSOUFIEV; d, *horvathi* SZILADY; e, *klapperichi* MOUCHA et CHVALA (en partie d'après MOUCHA et CHVALA, 1959).

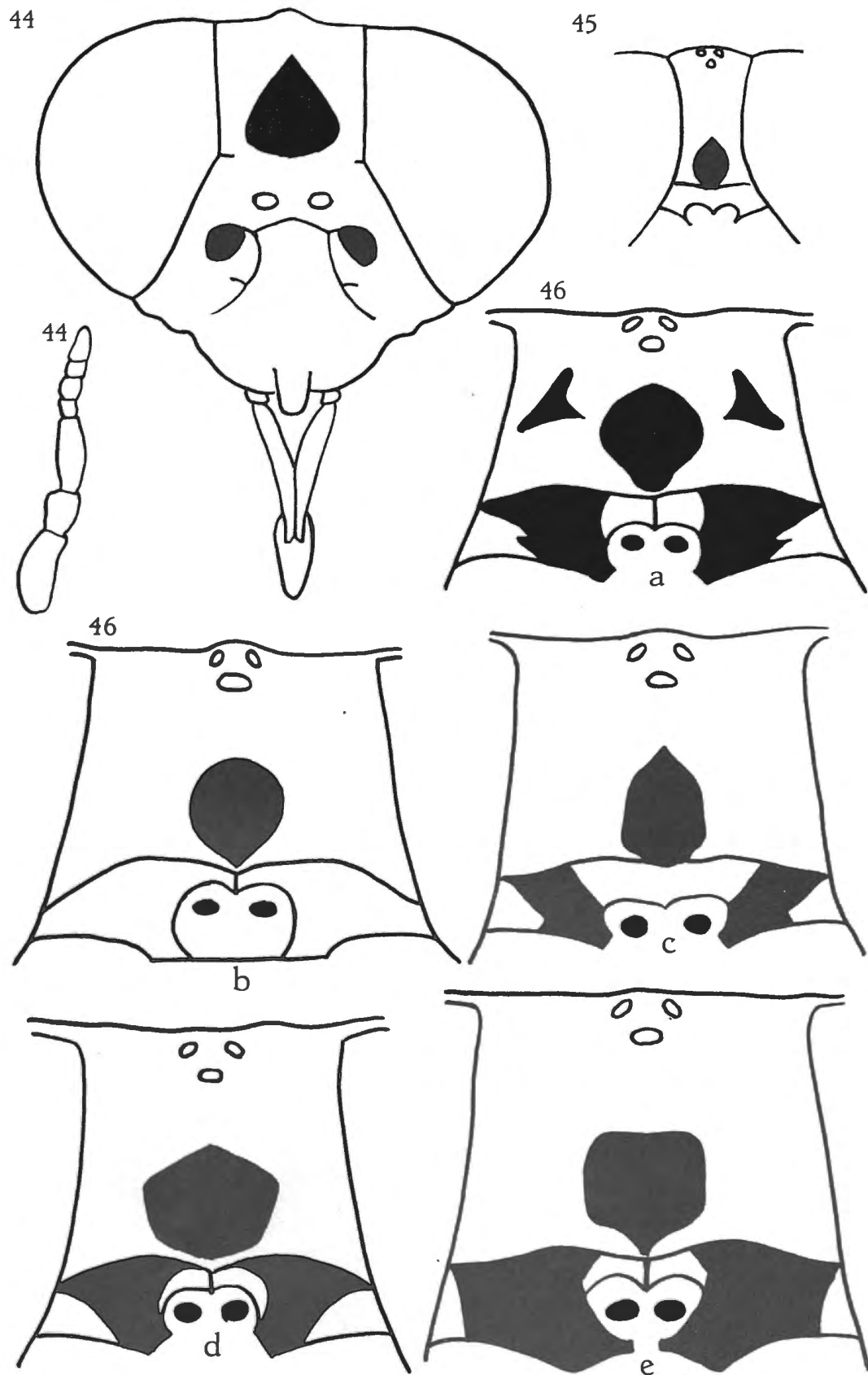
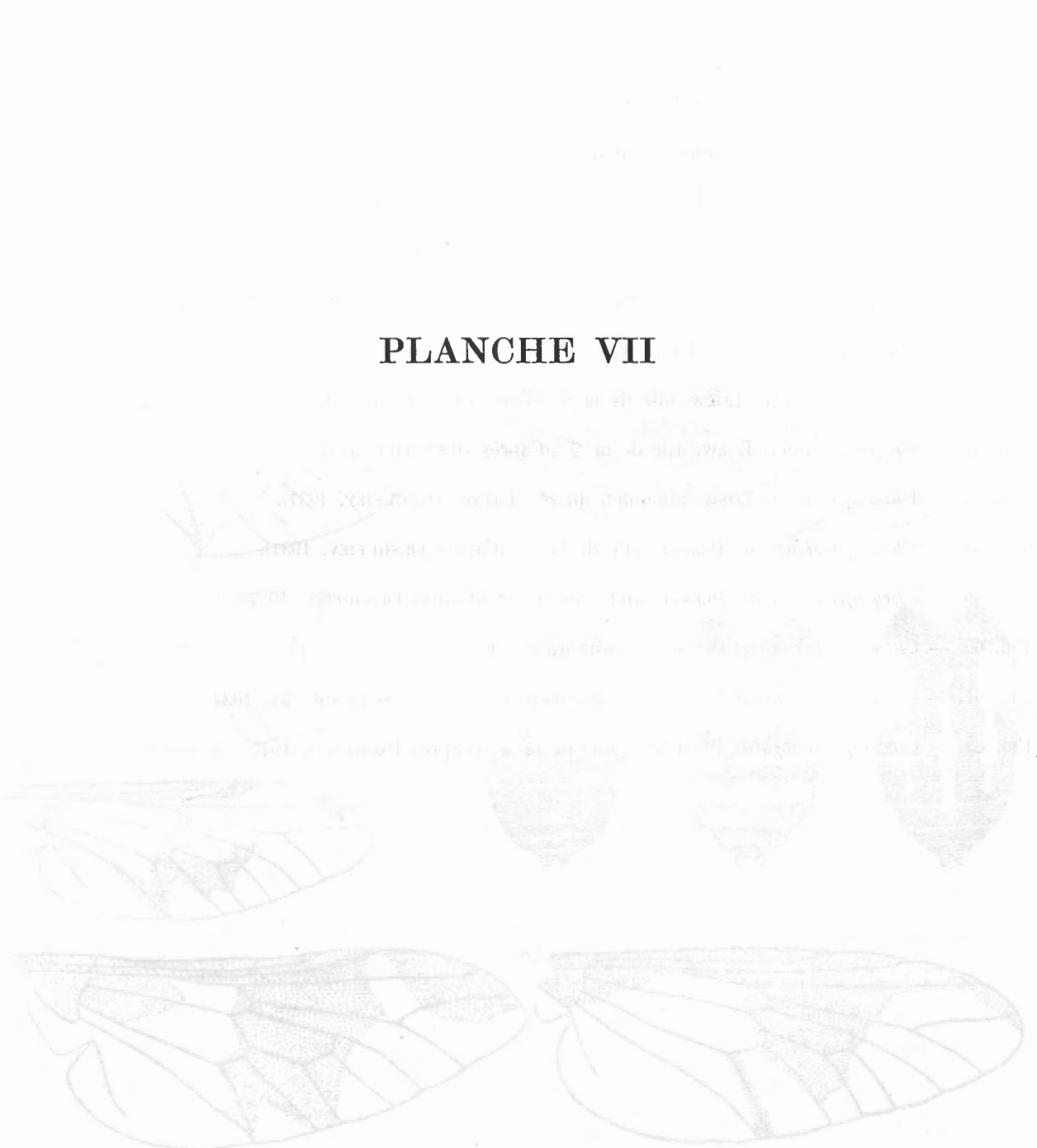




PLANCHE VII



EXPLICATION DE LA PLANCHE VII.

FIG. 47, 48, 49. — *Chrysops buxtoni* AUSTEN, aile, abdomen et tête du ♂ (d'après AUSTEN, 1922).

FIG. 50. — *Chrysops parallelogrammus* ZELLER, aile de la ♀ (d'après OLSOUFIEV, 1937).

FIG. 51. — *Chrysops divaricatus* LOEW, aile de la ♀ (d'après OLSOUFIEV, 1937).

FIG. 52. — *Chrysops nigripes* ZETTERSTEDT, aile de la ♀ (d'après OLSOUFIEV, 1937).

FIG. 53. — *Chrysops japonicus* WIEDEMANN, aile de la ♀ (d'après OLSOUFIEV, 1937).

FIG. 54. — *Chrysops sepulchralis* FABRICIUS, aile de la ♀ (d'après OLSOUFIEV, 1937).

FIG. 55. — *Chrysops validus* LOEW, aile de la ♀ (d'après OLSOUFIEV, 1937).

FIG. 56. — *Chrysops suavis* LOEW, aile de la ♀ (d'après OLSOUFIEV, 1937).

FIG. 57. — *Chrysops suavis* LOEW, abdomen du ♂ (d'après OLSOUFIEV, 1937).

FIG. 58. — *Chrysops ricardoae* PLESKE, aile de la ♀ (d'après OLSOUFIEV, 1937).

FIG. 59. — *Chrysops ricardoae* PLESKE, abdomen du ♂ (d'après OLSOUFIEV, 1937).

FIG. 60. — *Chrysops turanicus* OLSOUFIEV, aile du ♂ (d'après OLSOUFIEV, 1937).

FIG. 61. — *Chrysops turanicus* OLSOUFIEV, abdomen du ♂ (d'après OLSOUFIEV, 1937).

FIG. 62. — *Chrysops striatulus* PECHUMAN, aile de la ♀ (d'après PECHUMAN, 1943).

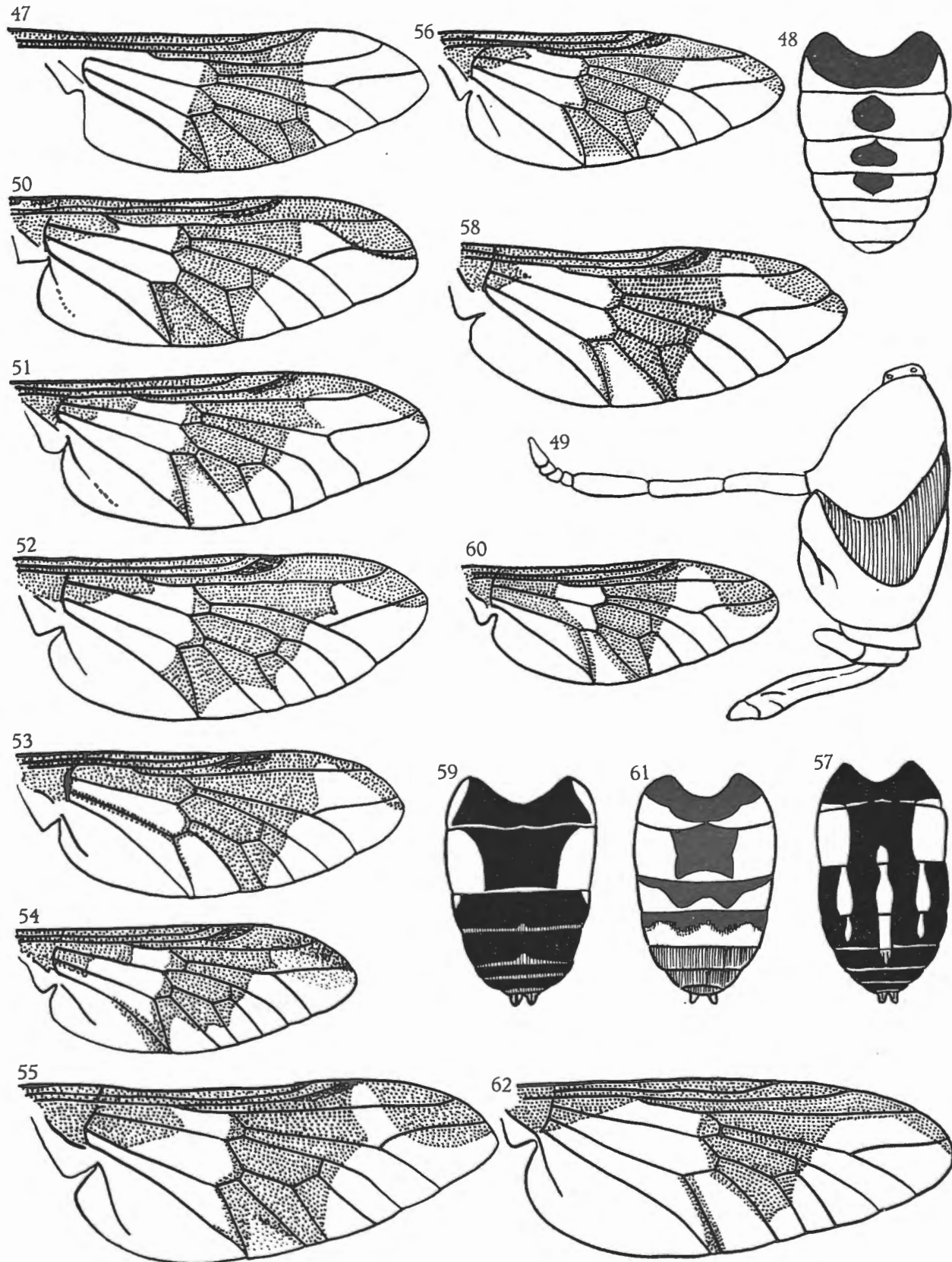


PLANCHE VIII



EXPLICATION DE LA PLANCHE VIII.

FIG. 63, 64, 65. — *Chrysops angaricus* OLSOUFIEV, tête du ♂, abdomen du ♂ et aile de la ♀ (d'après OLSOUFIEV, 1937).

FIG. 66. — *Chrysops dissectus* LOEW, aile de la ♀ (d'après OLSOUFIEV, 1937).

FIG. 67. — *Chrysops dissectus* LOEW, abdomen du ♂ (d'après OLSOUFIEV, 1937).

FIG. 68. — *Chrysops rufipes* MEIGEN, aile de la ♀ (d'après OLSOUFIEV, 1937).

FIG. 69. — *Chrysops pictus* MEIGEN, aile de la ♀ (d'après OLSOUFIEV, 1937).

FIG. 70. — *Chrysops relictus* MEIGEN, aile de la ♀ (d'après OLSOUFIEV, 1937).

FIG. 71. — *Chrysops buxtoni* AUSTEN, abdomen de la ♀ (d'après AUSTEN, 1922).

FIG. 72. — *Chrysops parallelogrammus* ZELLER, bande frontale de la ♀ (d'après OLSOUFIEV, 1937).

FIG. 73. — *Chrysops concavus* LOEW, bande frontale de la ♀ (d'après OLSOUFIEV, 1937).

FIG. 74. — *Chrysops anthrax* OLSOUFIEV, aile de la ♀ (d'après OLSOUFIEV, 1937).

FIG. 75. — *Chrysops anthrax* OLSOUFIEV, abdomen de la ♀ (d'après OLSOUFIEV, 1937).

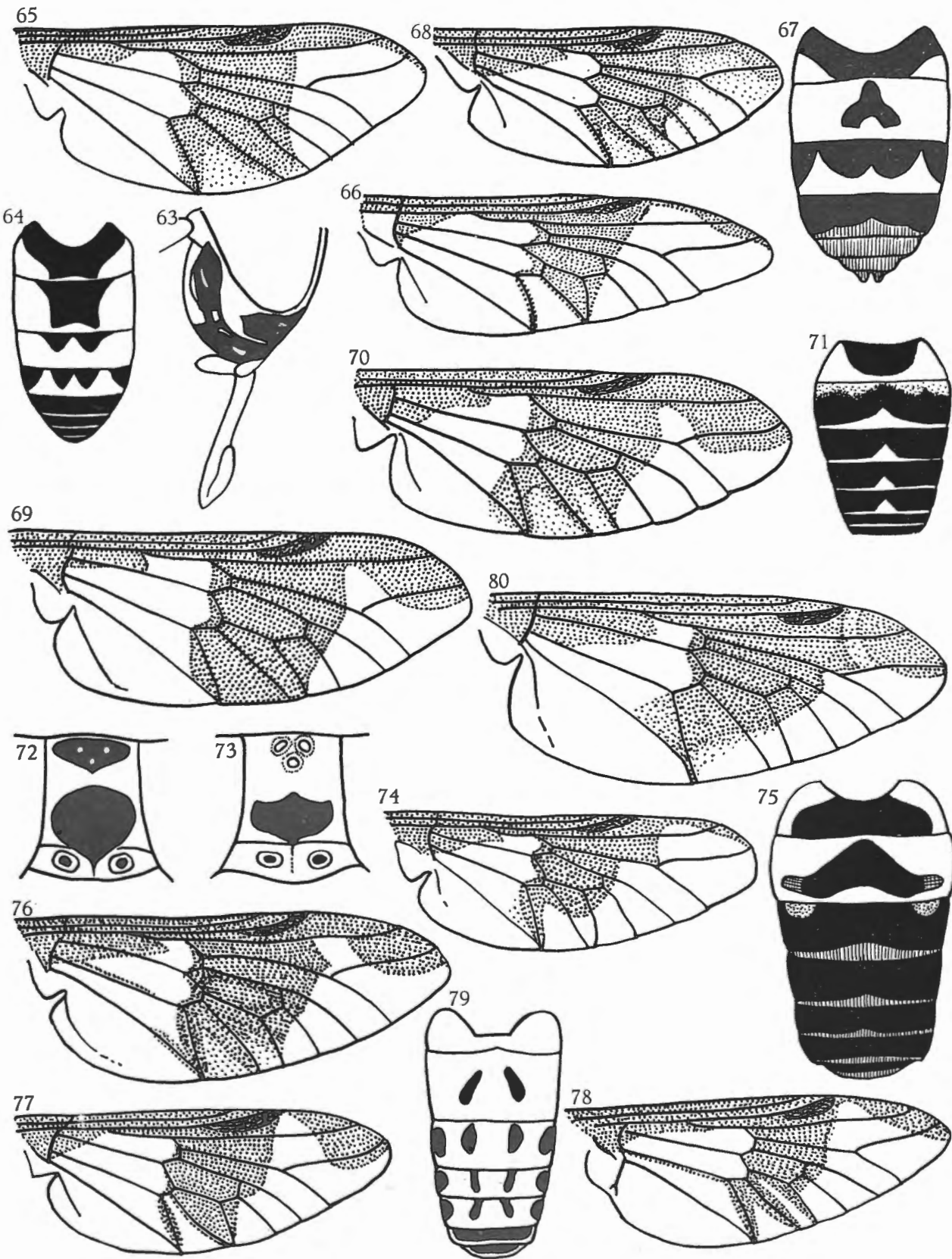
FIG. 76. — *Chrysops makerovi* PLESKE, aile de la ♀ (d'après OLSOUFIEV, 1937).

FIG. 77. — *Chrysops turanicus* OLSOUFIEV, aile de la ♀ (d'après OLSOUFIEV, 1937).

FIG. 78. — *Chrysops chaharicus* CHEN et QUO, aile de la ♀ (d'après CHEN et QUO, 1949).

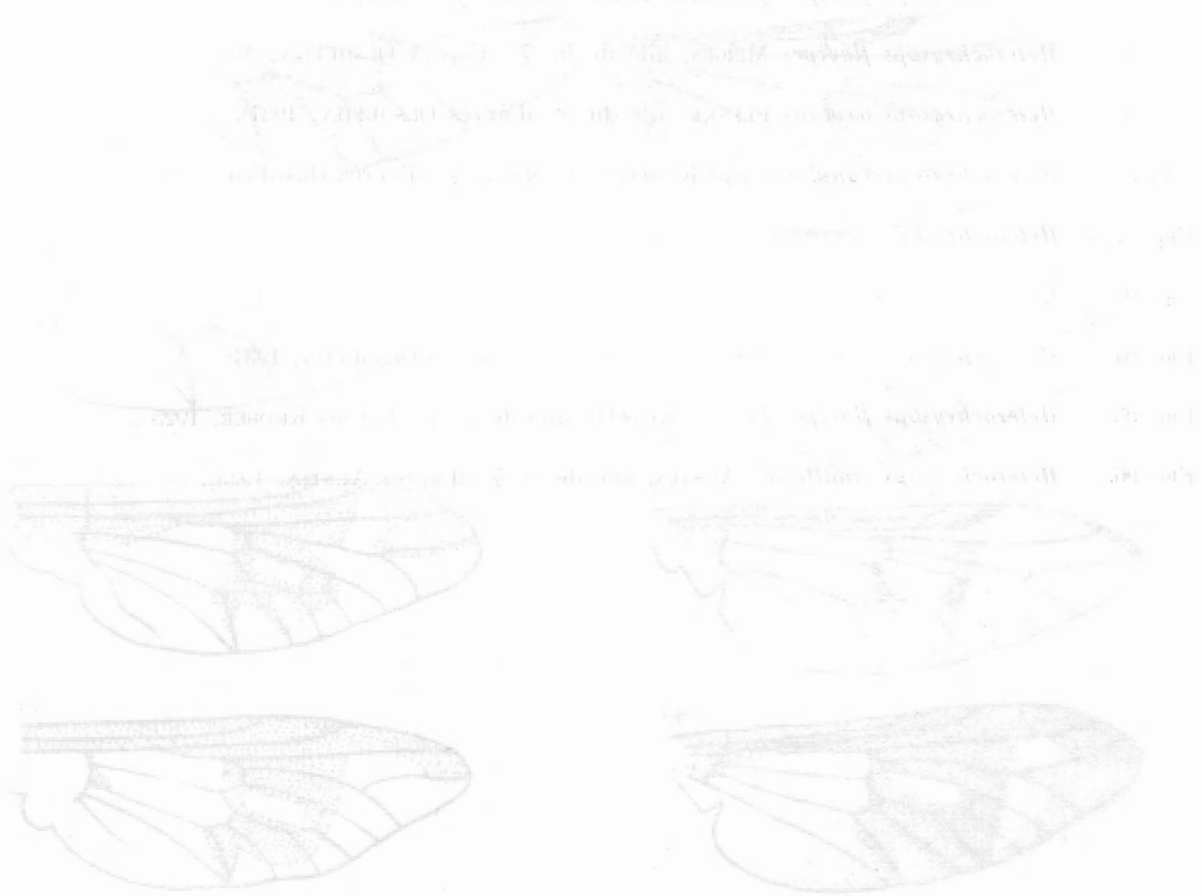
FIG. 79. — *Chrysops chaharicus* CHEN et QUO, abdomen de la ♀ (d'après CHEN et QUO, 1949).

FIG. 80. — *Chrysops aeneus* PECHUMAN, aile de la ♀ (d'après PECHUMAN, 1943).



Famille des Cicadidae

PLANCHE IX



EXPLICATION DE LA PLANCHE IX.

FIG. 81. — *Chrysops angaricus* OLSOUFIEV, abdomen de la ♀ (d'après OLSOUFIEV, 1937).

FIG. 82. — *Chrysops turanicus* OLSOUFIEV, abdomen de la ♀ (d'après OLSOUFIEV, 1937).

FIG. 83. — *Chrysops ricardoae* PLESKE, abdomen et variations des taches sur les 2 premiers tergites chez la ♀ (d'après OLSOUFIEV, 1937).

FIG. 84. — *Chrysops rufipes* MEIGEN, callosités faciales de la ♀ (d'après SURCOUF, 1924).

FIG. 85. — *Chrysops melicharii* MIK, callosités faciales de la ♀ (d'après SURCOUF, 1924).

FIG. 86. — *Heterochrysops connexus* LOEW, aile de la ♀ (d'après KRÖBER, 1925).

FIG. 87. — *Heterochrysops sejunctus* SZILADY, aile de la ♀ (d'après OLSOUFIEV, 1937).

FIG. 88. — *Heterochrysops flavipes punctifer* LOEW, aile de la ♀ (d'après OLSOUFIEV, 1937).

FIG. 89. — *Heterochrysops flavipes* MEIGEN, aile de la ♀ (d'après OLSOUFIEV, 1937).

FIG. 90. — *Heterochrysops oxianus* PLESKE, aile du ♂ (d'après OLSOUFIEV, 1937).

FIG. 91. — *Heterochrysops van-der-wulpi* KRÖBER, aile de la ♀ (d'après OLSOUFIEV, 1937).

FIG. 92. — *Heterochrysops mauritanicus* COSTA, aile de la ♀ (d'après KRÖBER, 1925).

FIG. 93. — *Heterochrysops italicus* MEIGEN, aile de la ♀ (d'après OLSOUFIEV, 1937).

FIG. 94. — *Heterochrysops oxianus* PLESKE, aile de la ♀ (d'après OLSOUFIEV, 1937).

FIG. 95. — *Heterochrysops flavipes beckeri* KRÖBER, aile de la ♀ (d'après KRÖBER, 1925).

FIG. 96. — *Heterochrysops simillimus* AUSTEN, aile de la ♀ (d'après AUSTEN, 1923).

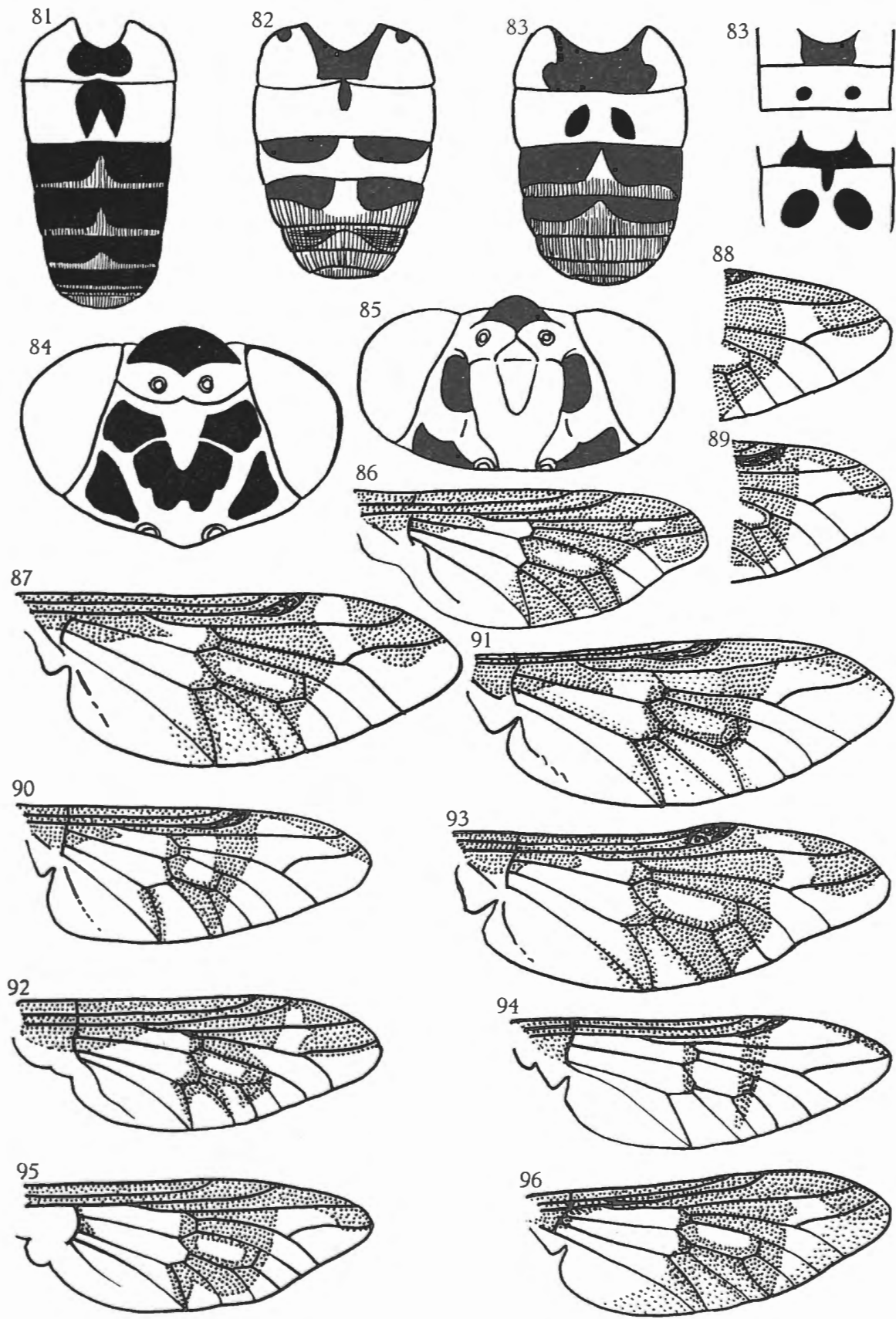


PLANCHE X



EXPLICATION DE LA PLANCHE X.

FIG. 97. — *Chrysops (Pseudochrysops) hamatus* LOEW, ♂ (d'après MOUCHA et CHVALA, 1957).

FIG. 98. — *Thaumastomyia haitiensis* STONE, ♀ (d'après PHILIP et MACKERRAS, 1959) : a, profil de la tête; b, front; c, antenne; d, palpe; e, segments terminaux de l'abdomen et cerci; f, 8^e sternite et gonapophyse; g, furca et extrémité caudale du conduit spermathèque; h, aile.

FIG. 99. — *Gressittia birumis* PHILIP et MACKERRAS, ♀ (d'après PHILIP et MACKERRAS, 1959) : a, profil de la tête; b, front; c, antenne; d, palpe; e, aile.

FIG. 100. — *Silvius (Neosilvius) suifui* PHILIP et MACKERRAS (d'après PHILIP et MACKERRAS, 1959) : a, front de la ♀; b, articles 1 et 2 des antennes de la ♀; c, palpe de la ♀; d, antenne du ♂; e, palpe du ♂ (il s'agit du ♂ présumé).

